

理論力学

LILUN LIXUE

下 册

(第二部分)

浙江大学力学教研組編

1961年4月

目 录

第三篇 动力学

第二十四章 拉格朗日方程.....	197
第二十五章 振动.....	233
第二十六章 回轉仪理論初步.....	303

动力學習題集

第十七章 質點運動微分方程式.....	1
第十八章 運量定理.....	7
第十九章 運量矩定理.....	9
第二十章 運能定理.....	14
第二十一章 碰撞.....	23
第二十二章 达朗伯原理，相對運動.....	27
第二十三章 虛位移原理，動力學普遍方程.....	37
第二十四章 拉格朗日方程.....	47
第二十五章 振動.....	54
第二十六章 回轉仪理論初步.....	62

(7) 刚体作平行移动时，它的惯性力系向质心简化的结果是什么？

(8) 刚体作定轴转动时，它的惯性力系简化的结果是什么？这结果是在向哪一点简化时得到的？

(9) 刚体作定轴转动时，在什么情况下，它的惯性主矢量和主矩两者之一等于零？在什么情况下两者都等于零？为了使支座反力等于零，要做什么工作？

(10) 刚体作平面运动时，它的惯性力系向质心简化的结果是什么？如果向其它点简化，结果是否不同？

(11) 刚体作平面运动时其惯性合力的大小，方向和作用线位置应怎样确定？按图22—23(b)所示情况，惯性合力作用线可否在C点的另一侧？

(12) 具有垂直于转轴的对称平面的刚体作定轴转动时，其惯性合力的大小，方向和作用线位置如何确定？

(13) 怎样建立质点的相对运动微分方程？试应用(22—27)式列出例18—5中的强迫振动微分方程。

第二十三章 虛位移原理 動力學普遍方程式

虛位移原理又名可能位移原理，它与靜力学中敘述的列出平衡方程的方法不同，是另一种解答靜力平衡問題的一般性原理。它特別适用于解决机构的靜力平衡問題。虛位移原理与达朗伯原理相結合，得到了动力學普遍方程式，把定理引伸到解决动力學問題。

23—1. 質點系的自由度及几何約束

在研究質點的运动时，可以发现有些質點系或物体可以在空間自由运动而不受限制，称为**自由質點系**。例如在空中飞行的砲彈，太阳系中的各星体等。要表示空間一質點的位置需用三个独立座标，例如直角座标 x , y , z 。故此質點是自由的，则这三个座标可以自由地取任何值，为此我們說空間自由質點有三个**自由度**。若自由質點系包括有 n 个質點，則需要 $3n$ 个独立座标来表示質點系的位置，所以空間的自由質點系具有 $3n$ 个自由度。决定在平面中一質點的位置需要2个独立座标 x 与 y ，故平面自由質點有两个自由度。要决定剛体在平面中的位置，除某点A的座标 x 与 y 外，还需要知道其上直線AB的傾斜角 φ ，故作平面运动的剛体有三个自由度。

有些質點系或物体須沿着完全确定的軌跡或限于某一区域中的軌跡运动，即所謂**非自由質點系**或**約束質點系**，其中各質點不能自由运动，其位置必須服从某些限制条件。这种限制系中各質點自由运动的种种条件称为質點系的**約束**。質點系受到約束，自由度数目就要相应地減少。

例如质点P必须保持在某曲面上运动(图23—1)则质点系的坐标(x, y, z)必须满足曲面方程式

$$f(x, y, z) = 0 \quad (\text{a})$$

因此质点的三个坐标中只有两个可以任意选定,第三个坐标由(a)式来决定,这时,质点的自由度数为 $3-1=2$ 。

又如两质点 $P_1(x_1, y_1, z_1)$ 与 $P_2(x_2, y_2, z_2)$ 之间连以长为 l 的刚桿(图23—2),使得两点间的距离保持不变,约束方程为

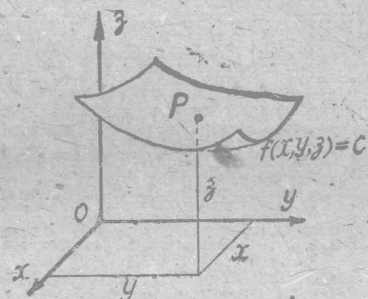


图23—1

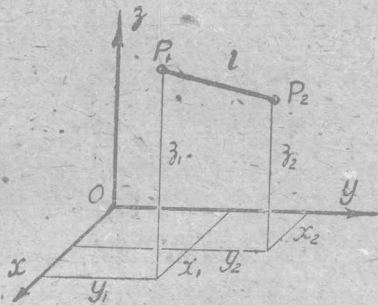


图23—2

$$(x_2 - x_1)^2 + (y_2 - y_1)^2 + (z_2 - z_1)^2 = l^2, \quad (\text{b})$$

这样,对于六个坐标,加上了一个限制条件,其中五个可以独立选取,所以这质点系的自由度为 $2 \times 3 - 1 = 5$ 。

再以曲柄滑块机构为例加以分析(图23—3)。曲柄长 $\overline{OA} = r$, 连杆 $\overline{AB} = l$, 取机构运动平面为 xoy 平面,

设定坐标如图,其中A,B两点坐标分别为 (x_1, y_1, z_1) 和 $(x_2,$



图23—3

(x_2, z_2) 。約束方程为

$$\left. \begin{aligned} x_1^2 + y_1^2 &= r^2, \quad (x_2 - x_1)^2 + (y_2 - y_1)^2 = l^2, \\ y_2 &= 0, \quad z_1 = 0, \quad z_2 = 0. \end{aligned} \right\} \quad (c)$$

因此自由度为 $2 \times 3 - 5 = 1$ 。

一般說來，如果質點系有 n 個質點，受到 s 個約束方程限制，則其自由度數目為

$$k = 3n - s. \quad (23-1)$$

如果約束方程中只含有系中各點的座標，例如 (a) (b) (c)，這種對系統各點位移所加的限制稱為**幾何約束**。在一般情況下，約束加于質點系運動的限制，還可能與時間和速度有關，這樣的約束稱為**運動約束**。也可以按照約束方程內是否明顯地包含時間變量 t 來分類，如果約束方程中並不明顯地包含時間變量 t ，例如 (a) (b) (c)，就稱為**穩定約束**；如果約束方程中包含了時間變量 t ，就稱為**不穩定約束**。運動約束還可分為**完整約束**與**非完整約束**兩種，在約束方程中不包含座標對時間的導數的約束稱為**完整約束**。以下我們只考慮既穩定又完整的約束（**幾何約束**）。

從力學的抽象看來，非自由質點系和自由質點系的不同就在於：非自由質點系受到由約束所施加的反力，即**約束反力**，約束反力限制了非自由質點的運動。約束反力外的力統稱**主動力**，這種力的分類法已在靜力學中談到過。

23-2. 虛位移和理想約束

在轉向研究質點系平衡的普遍原理—虛位移原理之前，先來說明兩個重要的概念—虛位移和理想約束。

我們已經知道質點系的任何約束，都限制着質點系運動的自由，即只容許這質點系有某些位移，而不容許它有另一些位移。

任何为約束所容許的微小位移，称为該質点系的虛位移。例如图23—4中橫桿AB的虛位移是繞支点O的微小轉角 $\delta\varphi$ ，由位置AB轉到A'B'。橫桿上任一点M的虛位移是以支点O为圆心的短圆弧，由于虛位移是极微小的位移，所以可以認為 $\delta r = MM'$ 是沿着圆弧在M点的切線方向，即垂直于AB。又如图23—5时曲柄滑块机构，它的虛位移是由位置OAB到OA'B'，滑块B的虛位移是 $\delta r_B = BB'$ ，曲柄銷A的虛位移是 $\delta r_A = AA'$ ，可以認為它垂直于OA。

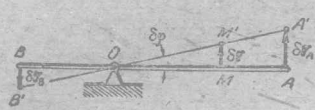


图23—4

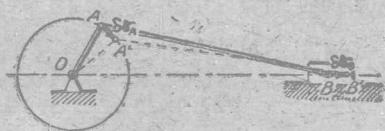


图23—5

必須指出，質点系中任一質点的虛位移並不一定是它的實位移，實位移是質点在力的作用下实际发生的位移，而虛位移仅是約束所容許的可能发生而实际未必发生的位移。如果質点系的約束是稳定的，即約束不隨時間改变，則實位移必是虛位移之一，因为只有約束所容許的位移（虛位移）才可能实际发生。

再來說明理想約束这一概念，如果質点系的約束反力在这系的任意虛位移上所作的功（即所謂虛功）的总和等于零，即

$$\sum N_i \cdot \delta r_i = 0 \quad (23-2)$$

則这样的約束称为理想約束。

以下是一些常見的理想約束：

(1) 光滑固定面(图23—6) 光滑面的約束反力沿着面的法線方向，而虛位移則沿着面的切線，因此約束反力垂直于所有的虛位移，反力在任何虛位移上所作的虛功总是等于零。

(2) 刚体的固定点 若刚体有固定点，则其約束反力作用在固定点上，这点沒有虛位移，虛功显然为零。

(3) 光滑銼鏈 两个物体在点A以光滑銼链连接，它们互相作用时約束反力大小相等，方向相反（图23—7），因此当A点有任何虚位移时，这两力的虛功必定正負相消，其总和等于零。

此外如剛体的內力在任何位移上作功之和为零，不可伸长的柔索內力作功的总和也等于零，因此剛体和不可伸长的柔索都是理想約束，这些已在第二十章中談到过，这里不再重复。

23—3. 虛位移原理

虛位移原理：具有理想約束的質点系其平衡的充分和必要条件是：所有作用于該系的主动力在任何虛位移上所作虛功的总和等于零，即

$$\sum F_i \cdot \delta r_i = 0, \quad (23-3)$$

这原理又名虛功原理。現在先証明这条件对系的平衡是必要的，然后再証明它也是充分的。

(1) 必要性的証明 設已知質点系处于平衡，需要証明其上所有主动力在任何虛位移上所作的虛功总和等于零。

根据假定条件，系中任何質点 M_i 都保持平衡，所以作用于質点 M_i 的主动力的合力 F_i 与約束反力的合力 N_i 应处于平衡（图23—8），即

$$F_i + N_i = 0.$$

設 M_i 点的虛位移为 δr_i ，則主动力和約束反力的虛功总和应等于零，

$$F_i \cdot \delta r_i + N_i \cdot \delta r_i = 0.$$

对于系中其余各質点也都有与此相仿的等式。把各等式相加得：

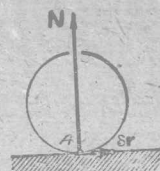


图23—6

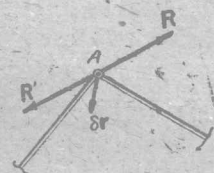


图23—7

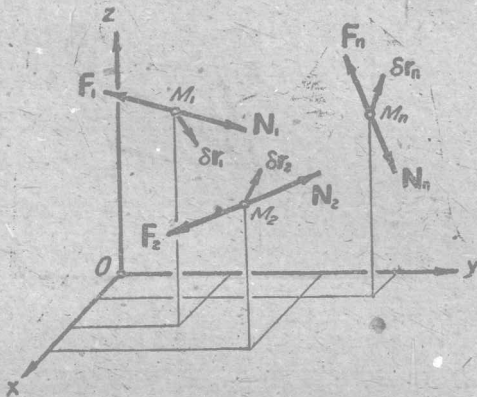


图23—8

$$\sum F_i \cdot \delta r_i + \sum N_i \cdot \delta r_i = 0.$$

既然質点系的約束是理想約束，則約束反力的虛功总和：

$$\sum N_i \cdot \delta r_i = 0, \quad (23-2)$$

所以 $\sum F_i \cdot \delta r_i = 0$ 。

(2) 充分性的証明 設已知質点系的所有主動力在任何虛位移上所作的虛功总和等于零，需要証明此質点系处于平衡。

应用反証法：如果假設質点系虽然滿足条件 (23-3)，但並不处于平衡，那时就会推出矛盾的結果，从而确定質点系一定处于平衡。証明如下：設質点系不处于平衡，则作用在質点 M_i 上的主動力 F_i 与約束反力 N_i 有一合力 R_i (图23-9)，

$$R_i = F_i + N_i,$$

如果开始时質点系是靜止的，則 M_i 将在 R_i 作用下进入运动，它沿着 R_i 方向有一位移 δr_i ，因此

$$R_i \cdot \delta r_i > 0,$$

即 $F_i \cdot \delta r_i + N_i \cdot \delta r_i > 0$ 。

对于質点系中其余各質点也都有与此類似的不等式。把各不等式

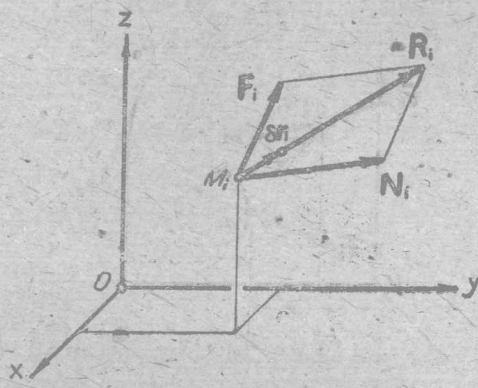


图23—9

相加得：

$$\sum F_i \cdot \delta r_i + \sum N_i \cdot \delta r_i > 0.$$

由理想約束的条件有

$$\sum N_i \cdot \delta r_i = 0,$$

从而推得

$$\sum F_i \cdot \delta r_i > 0.$$

但这与质点系应满足的已知条件 ($\sum F_i \cdot \delta r_i = 0$) 矛盾，所以质点不可能进入运动，可見质点系必定处于平衡。这就是所需的証明。

至此，我們已經証明具有理想約束系統平衡的充分与必要条件的普遍形式—虛位移原理。原理亦可解析地表示为：

$$\sum (X_i \delta x_i + Y_i \delta y_i + Z_i \delta z_i) = 0. \quad (23-4)$$

其中 X_i, Y_i, Z_i 为主动力 F_i 在直角坐标轴上的投影， $\delta x_i, \delta y_i, \delta z_i$ 为虚位移 δr_i 在直角坐标轴上的投影（即 F_i 作用点坐标的变分）。

应用虚位移原理解决平衡問題时，只要約束是理想的，就只

須考慮主动力，不必考慮約束反力，使問題的解答大為簡化，這是虛位移原理的最大优点。不仅如此，即使質點系所受的並非理想約束，約束具有摩擦力，这时，只須把摩擦力的虛功列入方程(23—3)或(23—4)的左端，也可應用虛位移原理，其他理想約束反力仍可不計。以下舉例說明虛位移原理的应用。

【例23—1】螺旋壓榨機的把手長 $AB=2l=1$ 米，螺距 $h=1$ 厘米。如果在把手上作用一力偶(P, P')， $P=P'=10$ 公斤(图23—10)，求加于被榨物体上的压力。

〔解〕 N 是被榨物体作用于螺桿的力，应作为主动力。假定固定螺母的摩擦力略去不計，成为理想約束，則其反力不必考慮。設手柄轉過一微小角度 $\delta\varphi$ ，則压板將下降微小距離 δs ，按虛位移原理有：

$$2Pl\delta\varphi - N\delta s = 0.$$

現在求 $\delta\varphi$ 和 δs 間的關係。因为螺距前進距離與轉角成比例，當轉過 2π 角時，將沿軸線移動一螺距，故

$$\frac{\delta\varphi}{2\pi} = \frac{\delta s}{h}.$$

將上式代入前式，即得

$$N = 2pl \frac{\delta\varphi}{\delta s} = 4\pi p \frac{l}{h}.$$

代入數值后：

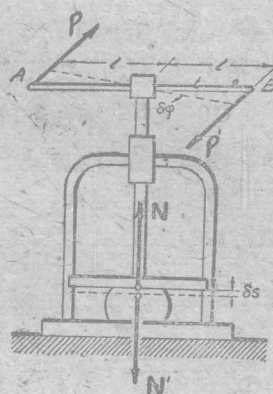
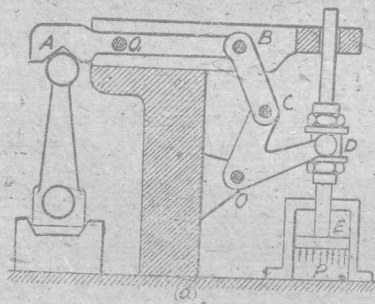


图23—10

$$N = 2\pi(10) \left(\frac{1}{0.01} \right) = 6283 \text{ 公斤} \approx 6.283 \text{ 吨}.$$

【例23—21】图23—11(a)上示出铣床用自动气压夹具的简图。空气压力P推动活塞，通过曲折杠杆DOC，连杆CB和杠杆AB夹紧工件。如已知长度a、b、l， $oc = l_1$ ，联线BO与杠杆AB垂直，OC和CB分别与BO成角 β 和 α 。若夹紧工件的压力为R，求所需气体压力P。

【解】为便于观察，把机构简化成图23—11(b)，设想D点有向上虚位移 δs_D ，则A点有向下的虚位移 δs_A 。不计摩擦，列出虚功方程：



(a)

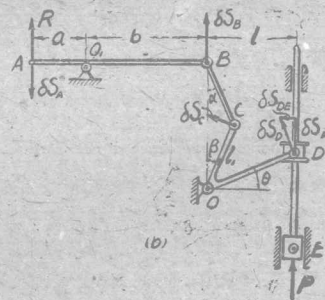


图23—11

(b)

$$Ps_E - R\delta s_A = 0. \quad (1)$$

必须求出虚位移 δs_E 和 δs_A 之间的关系。可以一环扣一环地考察。先看D点，D是OD上的一点，其虚位移 δs_D 应垂直于OD，运用点的合成运动中微小位移分析方法，可见 δs_E 相当于牵连位移， δs_{DE} 相当于相对位移，有

$$\delta s_D = \frac{\delta s_E}{\cos \theta}. \quad (2)$$

再考察杠杆DOC，DC两点虚位移应与其臂长OD及 l_1 成正比，即

$$\frac{\delta s_c}{\delta s_D} = \frac{l_1}{OD} \quad (3)$$

考察BC，与速度投影定理相似，位于同一刚体上的BC两点的微小位移在其连线上的投影应相等，即

$$\delta s_B \cos \alpha = \delta s_c \cos [90^\circ - (\alpha + \beta)] \quad (4)$$

最后考察横杆AB，显然虚位移 δs_A 与 δs_B 应与臂a、b成正比，即

$$\frac{\delta s_A}{\delta s_B} = \frac{a}{b}, \quad (5)$$

由(2)、(3)、(4)、(5)四式并注意到 $(OD)\cos\theta = l$ ，即可找到虚位移 δs_E 和 δs_A 间的直接关系式：

$$\delta s_A = \left[\frac{a}{b} - \frac{l_1}{l} ((g\alpha + g\beta) \cos \beta) \right] \delta s_E,$$

以此代入(1)式，即得

$$P = R \frac{a}{b} - \frac{l_1}{l} ((g\alpha + g\beta) \cos \beta).$$

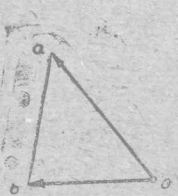
如 $\alpha = \beta$ ，则

$$P = 2R \frac{a}{b} - \frac{l_1}{l} \sin \alpha.$$

【例23—3】虚速度原理 曲柄滑块机构OAB的曲柄长r，连杆长l。在滑块上作用一力P，求曲柄转角为 φ 时所能克服的作用在曲柄上的力矩M(图23—12)。

【解】系统上的主动力为P和M。使曲柄有一微小转角 $\delta\varphi$ ，则滑块将有微小位移 δs 。列出虚功方程

$$P \cdot \delta s - M \cdot \delta\varphi = 0 \quad (a)$$



(a)



(b)

因为这机构只有一个自由度，故必須找出 $\delta\varphi$ 和 δs 間的关系，为此可以設想机构这一虛位移是在微小時間 δt 內完成的，因此

$$\frac{\delta s}{\delta\varphi} = \frac{\frac{\delta s}{\delta t}}{\frac{\delta\varphi}{\delta t}} = \frac{v_B}{\omega},$$

在运动学中已知，(参阅例10—6, 13—4)，曲柄轉速 ω 和滑块速度 v_B 間的关系为

$$v_B = r\omega \frac{\sin(\varphi + \psi)}{\cos\psi},$$

代入(a)式得

$$M = P \frac{\delta s}{\delta\varphi} = P \frac{v_B}{\omega} = Pr \frac{\sin(\varphi + \psi)}{\cos\psi}.$$

图23—12上还画出了連杆AB在这位置的速度图解，也可用这种图解方法求得 v_B 和 ω 的关系。

事实上，利用运动学中的速度分析求虛位移間关系的方法是具有普遍意义的。設机构的虛位移是在微小時間 δt 內完成的，以 δt 除虛功方程(23—3')便得：

$$\sum F_i \cdot \frac{\delta r_i}{\delta t} = 0,$$

其中

$$\frac{\delta r_i}{\delta t} = v_i$$

称为 M_i 点的虚速度，也就是在约束许可下可能发生的速度。因此前式成为

$$\sum F_i \cdot v_i = 0 \quad (23-5)$$

与 (23-3) 式比较，无非是以虚速度代替了虚位移，这就是虚速度原理，应用于平面机构的平衡问题特别便利。

【例23-4】在车床的差动传动中锥齿轮1

在主动轴a上(图23-13)，在从动轴b的一端上带差行星齿轮2—2的轴，轴b上还活动地套着锥齿轮3，此轮与齿轮4联成整体。已知所有锥齿轮的半径都相同，主动轴a传入力矩 M_a ，整个机构以等角速转动，其中主动轴的角速为 ω_a ，试求从动轴b以及齿轮3—4上所受力矩 M_b 和 M_c 。

【解】为确定这差动机构的位置，可以任意选择两个参数，例如轴a的转角和轴b的转角，剩下的轮3—4的转角即可由轮系的相互约束关系来确定，故这是有两个自由度的系统。

应用虚速原理 (23-5) 来解决这平衡问题。当然，虚速可以用角速度来表示，相应地主动力应为主动力矩。设定轴a、b和轮3—4的角速 ω_a 、 ω_b 和 ω_c 如图所示。并设为主动力矩 M_a 和 M_c 分别与 ω_a 和 ω_c 同向，而阻力矩 M_b 则与 ω_b 方向相反，因此虚速原理 (23-5) 成为

$$M_a \omega_a + M_c \omega_c - M_b \omega_b = 0 \quad (1)$$

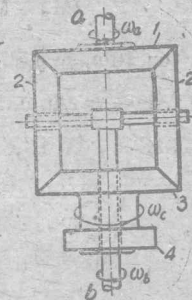


图23-13

上式有三个虚速，而本题具有两个自由度，故这这三个虚速間尚有一个关系式，应用运动学中§15—4所述原理，因各锥齿轮半径相同，故有

$$\frac{\omega_a - \omega_b}{\omega_2 r} = 1, \quad \frac{\omega_2 r}{\omega_c - \omega_b} = -1;$$

上两式相乘即得

$$\frac{\omega_a - \omega_b}{\omega_c - \omega_b} = -1,$$

或 $\omega_a = 2\omega_b - \omega_c$ 。 (2)

以(2)式代入(1)，整理后成为

$$(2M_a - M_b)\omega_b - (M_a - M_c)\omega_c = 0.$$

其中 ω_b 和 ω_c 是彼此独立的，可以任意选取，例如令 $\omega_b \neq 0$ 而 $\omega_c = 0$ 也可令 $\omega_b = 0$ 而 $\omega_c \neq 0$ ；这就从上式看到各独立参数 ω_b 和 ω_c 前的系数必须全等于零，即

$$\left. \begin{array}{l} 2M_a - M_b = 0, \\ M_a - M_c = 0; \end{array} \right\}$$

于是解得

$$M_b = 2M_a, \quad M_c = M_a.$$

23—4. 用虚位移原理求约束反力 解除约束原理

现在把虚位移原理推广于求约束反力，这样做是以解除约束原理为根据的，此原理可陈述如下：设将质点系的某些约束除去而加以相应的约束反力，则质点系的平衡情况并不因此改变。这一原理几乎是不证自明的，从力学观点看来，质点系所受的约束对于其平衡的影响完全决定于约束反力。因此解除某些约束，

而加以相应的约束反力，质点系仍处于平衡。这时再应用虚位移原理，则此约束反力将出现在虚功方程中，从而就可求出这些反力。

【例23—5】联合梁ABCD承受载荷如图23—14(a)所示，图上尺寸单位是米。已知 $q = 500$ 公斤/米， $P = 2$ 吨，试求支座A的反力。

【解】为了求支座A的反力，把支座A移去而代以相应的反力 R_A 。令A点有一虚位移 δs_A ，则梁ABC将绕B点转动，梁CD亦将绕D点转动。各主动作用点的虚位移在图23—14(b)上表示。计算梁AB上分佈载荷的虚功时，可以根据合力作功原理，只需求出其合力 $Q = 6$ (q) = 6 (500) = 3000 公斤=3吨的功。由虚位移原理：

$$R_A \cdot \delta s_A - Q \cdot \delta s_F + P \cdot \delta s_E = 0 ,$$

因此

$$R_A = Q \frac{\delta s_F}{\delta s_A} - P \frac{\delta s_E}{\delta s_A} .$$

由简单几何关系有：

$$\frac{\delta s_F}{\delta s_A} = \frac{3}{6} ,$$

$$\frac{\delta s_E}{\delta s_A} = \frac{\delta s_E}{\delta s_C} \cdot \frac{\delta s_C}{\delta s_A} = \left(\frac{1}{2} \right) \left(\frac{2}{6} \right) ,$$

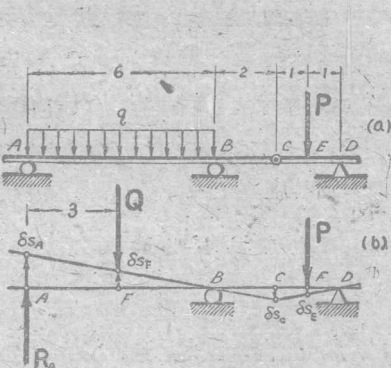


图23—14